

بِسْمِ اللّٰهِ الرَّحْمٰنِ الرَّحِيْمِ

٩٨٩٧٨



دانشگاه تربیت مدرس
دانشکده فنی - مهندسی

پایان نامه دوره کارشناسی ارشد
مهندسی هوافضا - آبودینامیک

استخراج سرعت ناپایداری دینامیکی پرۀ دوار بالگرد

میریوسف ضیابری

استاد راهنما:
دکتر بهزاد قدیری دهکردی

۱۰ / ۷ / ۱۳۸۷

خرداد ۱۳۸۷

۹۸۹۷۸



بسم الله الرحمن الرحيم

تاییدیه اعضای هیات داوران حاضر در جلسه دفاع از پایان

آقای میریوسف ضیاببری پایان نامه ۶ واحدی خود را با عنوان محاسبة مرز ناپایداری دینامیکی بر پرهای دوار بالگرد در تاریخ ۱۳۸۷/۳/۲۷ ارائه کردند.

اعضای هیات داوران نسخه نهایی این پایان نامه را از نظر فرم و محتوا تایید کرده و پذیرش آنرا برای تکمیل درجه کارشناسی ارشد مهندسی مکانیک - هوافضا پیشنهاد می‌کنند.

اعضو هیات داوران	نام و نام خانوادگی	رتبه علمی	امضا
استاد راهنمای	دکتر بهزاد قدیری دهکردی	استادیار	
استاد ناظر	دکتر حسن خالقی	دانشیار	
استاد ناظر	دکتر قاسم حیدری نژاد	دانشیار	
استاد ناظر	دکتر مسعود میرزایی	دانشیار	
مدیر گروه (یا نماینده گروه تخصصی)	دکتر حسن خالقی	دانشیار	۱۳۸۷/۳/۲۷

این تسویه به عنوان نسخه پایان پاپایان نامه / رساله مورد تایید است.

امضا استاد راهنمای:



دستورالعمل حق مالکیت مادی و معنوی در مورد نتایج پژوهش‌های علمی دانشگاه تربیت مدرس

مقدمه: با عنایت به سیاست‌های پژوهشی دانشگاه در راستای تحقق عدالت و کرامت انسانها که لازمه شکوفایی علمی و فنی است و رعایت حقوق مادی و معنوی دانشگاه و پژوهشگران، لازم است اعضای هیات علمی، دانشجویان، دانش آموختگان و دیگر همکاران طرح، در مورد نتایج پژوهش‌های علمی که تحت عنوانین پایان‌نامه، رساله و طرحهای تحقیقاتی که با هماهنگی دانشگاه انجام شده است، موارد ذیل را رعایت نمایند:

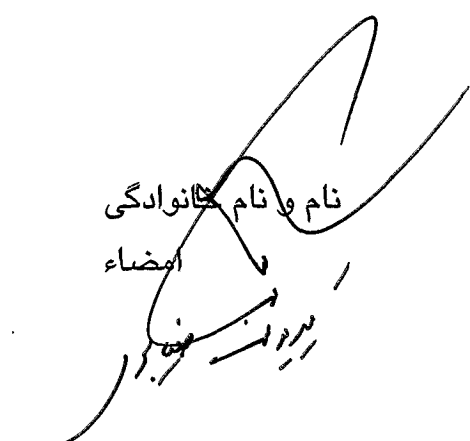
ماده ۱- حقوق مادی و معنوی پایان‌نامه / رساله‌های مصوب دانشگاه متعلق به دانشگاه است و هرگونه بهره‌برداری از آن باید با ذکر نام دانشگاه و رعایت آئین‌نامه‌ها و دستورالعمل‌های مصوب دانشگاه باشد.

ماده ۲- انتشار مقاله یا مقالات مستخرج از پایان‌نامه / رساله به صورت چاپ در نشریات علمی و یا ارائه در مجامع علمی باید به نام دانشگاه بوده و استاد راهنما مسئول مکاتبات مقاله باشد. تبصره: در مقالاتی که پس از دانش آموختگی بصورت ترکیبی از اطلاعات جدید و نتایج حاصل از پایان‌نامه / رساله نیز منتشر می‌شود نیز باید نام دانشگاه درج شود.

ماده ۳- انتشار کتاب حاصل از نتایج پایان‌نامه / رساله و تمامی طرحهای تحقیقاتی دانشگاه باید با مجوز کتبی صادره از طریق حوزه پژوهشی دانشگاه و بر اساس آئین‌نامه‌های مصوب انجام می‌شود.

ماده ۴- ثبت اختراع و تدوین دانش فنی و یا ارائه در جشنواره‌های ملی، منطقه‌ای و بین‌المللی که حاصل نتایج مستخرج از پایان‌نامه / رساله و تمامی طرحهای تحقیقاتی دانشگاه باید با هماهنگی استاد راهنما یا مجری طرح از طریق حوزه پژوهشی دانشگاه انجام گیرد.

ماده ۵- این دستورالعمل در ۵ ماده و یک تبصره در تاریخ ۱۳۸۴/۴/۲۵ در شورای پژوهشی دانشگاه به تصویب رسیده و از تاریخ تصویب لازم الاجرا است و هرگونه تخلف از مفاد این دستورالعمل، از طریق مراجع قانونی قابل پیگیری می‌شود.



آیین نامه چاپ پایان نامه (رساله) های دانشجویان دانشگاه تربیت مدرس

نظر به اینکه چاپ و انتشار پایان نامه (رساله) های تحصیلی دانشجویان دانشگاه تربیت مدرس، مبین بخشی از فعالیتهای علمی - پژوهشی دانشگاه است بنابراین به منظور آگاهی و رعایت حقوق دانشگاه، دانش آموختگان این دانشگاه نسبت به رعایت موارد ذیل متعهد می شوند:

ماده ۱: در صورت اقدام به چاپ پایان نامه (رساله) های خود، مراتب را قبلاً به طور کتبی به «دفتر نشر آثار علمی» دانشگاه اطلاع دهد.

ماده ۲: در صفحه سوم کتاب (پس از برگ شناسنامه) عبارت ذیل را چاپ کند:
«کتاب حاضر، حاصل پایان نامه کارشناسی ارشد / رساله دکتری نگارنده در رشته سال در دانشکده
دانشگاه تربیت مدرس به راهنمایی سرکار خانم / جناب آقای دکتر و مشاوره سرکار خانم / جناب آقای دکتر از آن دفاع شده است.»

ماده ۳: به منظور جبران بخشی از هزینه های انتشارات دانشگاه، تعداد یک درصد شمارگان کتاب (در هر نوبت چاپ) را به «دفتر نشر آثار علمی» دانشگاه اهدا کند. دانشگاه می تواند مازاد نیاز خود را به نفع مرکز نشر در معرض فروش قرار دهد.

ماده ۴: در صورت عدم رعایت ماده ۳، ۵۰٪ بهای شمارگان چاپ شده را به عنوان خسارت به دانشگاه تربیت مدرس، تأديه کند.

ماده ۵: دانشجو تعهد و قبول می کند در صورت خودداری از پرداخت بهای خسارت، دانشگاه می تواند خسارت مذکور را از طریق مراجع قضایی مطالبه و وصول کند؛ به علاوه به دانشگاه حق می دهد به منظور استیفای حقوق خود، از طریق دادگاه، معادل وجه مذکور در ماده ۴ را از محل توقیف کتابهای عرضه شده نگارنده برای فروش، تامین نماید.

ماده ۶: اینجانب رشته

قطع

تعهد فوق و ضمانت اجرایی آن را قبول کرد، به آن ملتزم می شوم.

نام و نام خانوادگی: ...
تاریخ و امضای...

تقدیم به

خانواده دلسوزم که در همه مراحل زندگی مرا

همراهی و پشتیبانی نموده‌اند.

با سپاس و تشکر فراوان از
تمامی کسانی که مرا در انجام این پایان‌نامه یاری کردند.

استاد محترم:
دکتر بهزاد قدیری دهکردی

چکیده:

در این تحقیق هدف بررسی ناپایداری دینامیکی پرۀ دوار بالگرد و در نتیجه استخراج سرعت ناپایداری دینامیکی آن در زوایای کلکتیو و سرعت‌های دوران مختلف برای پرۀ می‌باشد. برای این منظور پاسخ ارتعاشی پرۀ دوار در مودهای حرکتی درون صفحه، بیرون صفحه و حرکت پیچشی حول محور الاستیک پرۀ مورد بررسی و تحلیل قرار گرفته و پاسخ نوسانات پرۀ دوار در حوزه زمان رسم شده است.

برای این منظور مدل سازی سازه‌ای برای پرۀ مورد بررسی با استفاده از فرضیات اعمال شده برای تیر اولر-برنولی با فرض کوچک بودن جابجایی تیر صورت گرفته است. مدل سازی آیرودینامیکی نیز با استفاده از روش استخراج معادلات واگنر برای استخراج معادلات در حوزه زمان، با اعمال دو فرض آیرودینامیک شبه پایا و ناپایا انجام شده است.

معادلات استخراج شده با استفاده از مدل سازی‌های مذکور به صورت سه معادله پیوسته به یکدیگر در اختیار قرار گرفته و با استفاده از روش گلرکین به معادلات غیر دیفرانسیلی تبدیل گردیده و بدین وسیله ترمهای مربوط به زمان و مکان موجود در معادلات از یکدیگر جدا شده‌اند. در انتهای معادلات غیر دیفرانسیلی نیز با استفاده از روش رانچ-کوتای مرتبه چهارم حل گردیده‌اند. با رسم نمودارهای نوسانی پرۀ در سه مود مذکور به تحلیل دینامیکی پرۀ و استخراج سرعت ناپایداری دینامیکی آن در زوایای کلکتیو و سرعت‌های دوران گوناگون پرداخته شده است.

کلید واژه‌ها:

آیروالاستیسیته، پرۀ دوار، بالگرد، ناپایداری دینامیکی، تئوری واگنر، تیر اولر-برنولی، روش گلرکین، خطی سازی، آیرودینامیک شبه پایا، آیرودینامیک ناپایا.

فهرست مطالب

صفحه

عنوان

فصل اول

۱	مقدمه و تاریخچه
۲	۱-۱ : مقدمه
۳	۲-۱: تاریخچه
۴	۱-۲-۱ : امکانات
۶	۲-۲-۱: دستگاهها و روشها
۸	۲-۲-۲: دستورالعمل های ناپایداری دینامیکی
۸	۲-۲-۳: استخراج برنامه
۹	۲-۲-۴: نتیجه‌گیری از نکات مهم

فصل دوم

۹	روشها و فرضیات مدل سازی آبرودینامیک و سازه‌ای
۱۱	۱-۱: آشنایی با روش‌های مدل سازی آبرودینامیک و سازه‌ای
۱۱	۱-۲: آشنایی با روشها و فرضیات استفاده شده برای مدل سازی سازه‌ای
۱۲	۲-۱-۱: استفاده از تئوری تغییر شکل کوچک تیر
۱۳	۲-۱-۲: استفاده از فرض کلاسیک در محاسبه تنشهای تولید شده
۱۴	۲-۱-۳: استفاده از روابط و روش‌های حل تحلیلی
۱۵	۲-۱-۴: استفاده از شرایط حاکم بر پره‌های همسان
۱۶	۲-۲-۱: آشنایی با روشها و فرضیات استفاده شده برای مدل سازی آبرودینامیکی
۱۷	۲-۲-۲: آشنایی با تئوریهای آبرودینامیکی پایا
۱۷	۲-۲-۳: آشنایی با تئوریهای آبرودینامیکی شبه پایا
۱۸	۲-۲-۳-۱: استفاده از تئوری گرینبرگ
۱۹	۲-۲-۳-۲: تئوریهای آبرودینامیکی ناپایا
۲۰	۲-۲-۳-۳: آبرودینامیک هارمونیک پرۀ دوار
۲۷	۲-۲-۳-۴: روش‌های حل نوین
۲۷	۲-۲-۳-۵: روش‌های جریانهای پیچشی مجزا
۲۹	۲-۲-۳-۶: CFD روش
۳۰	۲-۲-۳-۷: برهم کنشهای دنباله

فصل سوم

۳۲	استخراج معادلات سازه‌ای
۳۳	۳-۱: استخراج معادلات سازه‌ای

۳۶	۱-۱-۳: بدست آوردن معادلات حاکم بر کرنش طولی
۳۷	۲-۱-۳: استخراج ممان‌های الاستیک داخلی
۴۰	۲-۲: تبدیل ممان‌های M_1, M_2, Q برای دستگاه مختصات $x-y-z$
۴۲	۲-۳: استخراج ممان‌ها و نیروهای مؤثر بر روی مقطع پره
۴۳	۲-۴: استخراج ممان‌ها و نیروهای خارجی
۴۴	۲-۵: استخراج معادلات دیفرانسیل نهایی
۴۷	۲-۶: شرایط مرزی
	فصل چهارم
۴۹	استخراج نیروهای آیرودینامیکی
۵۰	۱-۱: استخراج نیروهای آیرودینامیکی
۵۰	۲-۴: بارگذاری آیرودینامیکی برای مقطع معمولی
۵۳	۲-۴: بارگذاری آیرودینامیکی برای مقطع پره
۵۳	۴-۱: استخراج معادلات حاکم بر نیروهای اعمالی بر ایرفویل
۵۹	۴-۲: استخراج معادلات حاکم بر ممان‌های آیرودینامیکی اعمالی بر ایرفویل
	فصل پنجم
۶۱	بررسی روابط در حالت آیرودینامیک شبه‌پایا
۶۲	۱-۱: بررسی روابط در حالت آیرودینامیک شبه‌پایا
۶۲	۲-۵: آشنایی با معادلات دیفرانسیل اولیه حاکم بر سیستم با شرایط آیرودینامیک شبه‌پایا
۶۷	۳-۳: حل معادلات در حوزه زمان
۷۰	۴-۵: روش محاسبه سرعت القایی \bar{V}_i
۷۲	۵-۵: استخراج تغییر شکل استاتیکی
۷۵	۵-۶: خطی سازی روابط و بررسی پایداری
	فصل ششم
۸۰	بررسی روابط در حالت آیرودینامیک ناپایا
۸۱	۶-۱: بررسی روابط در حالت آیرودینامیک ناپایا
۸۱	۶-۲: آشنایی با معادلات دیفرانسیل اولیه حاکم بر سیستم با شرایط آیرودینامیک ناپایا
۸۹	۶-۳: حل معادلات در حوزه زمان
	فصل هفتم
۹۵	پاسخها و نتیجه‌گیری
۹۶	۱-۱: پاسخها و نتیجه‌گیری
۹۶	۱-۲: آشنایی با شرایط پره‌های مورد بررسی
۹۷	۱-۳-۱: بررسی نتایج برای پره اول
۱۰۴	۱-۳-۲: بررسی نتایج برای پره دوم
۱۰۹	۱-۳-۳: بررسی نتایج برای پره سوم
۱۱۳	۱-۳-۴: بررسی نتایج برای پره چهارم

۱۱۷ ۴-۴: بررسی نتایج با توجه به تغییرات سرعت دوران
۱۱۸ ۴-۴-۱: بررسی نتایج برای پرۀ اول
۱۲۵ ۴-۴-۲: بررسی نتایج برای پرۀ سوم
۱۳۰ ۵-۵: مقاسیۀ نتایج با مراجع
۱۳۳ ۷-۶: نوآوری آورده شده در مقایسه با دیگر مراجع
۱۳۳ ۷-۷: بررسی خطای نتایج استخراج شده با در نظر گرفتن روش‌های مدل سازی
۱۳۴ ۷-۶: جمع‌بندی و نتیجه‌گیری
۱۳۵ ۷-۷: پیشنهادات
۱۳۷ فهرست منابع

پیوست الف

۱۳۹ استخراج معادلات کرنش
۱۴۰ الف-۱: استخراج معادلات کرنش
۱۴۲ الف-۲: کرنش به بیان دیگر

پیوست ب

۱۴۴ استخراج معادلات نیروهای خارجی
۱۴۵ ب-۱: استخراج معادلات نیروهای خارجی

پیوست پ

۱۴۹ استخراج نیروهای آئرودینامیکی
۱۵۰ پ-۱: استخراج نیروهای آئرودینامیکی

فهرست علائم و نشانه‌ها

علامت

تعريف علامت

A	سطح مقطع پره
a	منحنی برای ایرفویل برابر 2π
b	تعداد پره‌ها
[c]	ماتریس مودال میرایی
c	طول وتر مقطع پره
cd_0	ضریب پسا برای مقطع پره
D	نیروی پسا برای واحد طول پره
E	مدول یانگ
G	مدول برشی
I_1, I_2	ممان اینرسی مقطع برشی حول محورهای y و z
J	ثابت سختی پیچشی
K	پارامتر بی بعد
[k]	ماتریس سختی
k	فرکانس بی بعد شده
k_A	شعاع ژیراسیون قطبی برای سطح مقطع پره
k_m	شعاع ژیراسیون جرمی برای سطح مقطع پره
k_{m_1}, k_{m_2}	مجموع شعاع ژیراسیون جرمی اصلی
L	برآ در واحد طول پره
M	ممان پیچشی در واحد طول پره
[M]	ماتریس جرم
m	جرم واحد حجم
R	طول پره
S	نیروی آیرودینامیکی موازی وتر مقطع پره در واحد طول
T	تنش وارد بر پره
T	نیروی آیرودینامیکی عمود بر وتر مقطع پره
t	زمان
T	انرژی دینامیکی
[T]	ماتریس انتقال
U	انرژی تغییر شکل پره
V	سرعت جريان آزاد
V_j, W_j	خمش داخل و خارج صفحه‌ای

V_i	سرعت القابی
$\alpha_j, \beta_j, \gamma_j$	ثابت‌هایی برای توابع شکل
β_{pc}	زاویهٔ پریکن
γ	عدد بستگی برابر $3\rho_\infty acR/m$
δ_y	دلتا
θ	زاویهٔ پیچشی پره
θ_{cr}	زاویهٔ پیچشی پره که پره تا آن زاویهٔ پایدار است
K	سختی بی‌بعد شدهٔ پیچشی
Λ_1, Λ_2	سختی بی‌بعد شدهٔ خمی
μ_1, μ_2, μ	ژیراسیون بی‌بعد
ρ	چگالی سازه
ρ_∞	چگالی هوا
σ	صلبیت و بخش حقیقی مقدار ویژه
ψ	زمان بی‌بعد
$\omega_v, \omega_w, \omega\phi$	فرکانس طبیعی بی‌بعد با Ω برای حرکت درون/برون صفحه‌ای و پیچش
ω	بخش مجازی مقدار ویژه
Ω	سرعت زاویه‌ای دوران پره
$()'$	علامت پریم، مشتق مکانی
$()^\circ$	علامت دات، مشتق زمانی
$()^c$	ترم آپرودینامیکی چرخشی
$()_{NC}$	ترم آپرودینامیکی غیرچرخشی

فهرست جداول

صفحه

عنوان

جدول(۱-۵) : پارامترهای بی بعد سازی استفاده شده در معادلات	۶۴
جدول(۲-۵) : مقادیر α_{1-6} , β_{1-6}	۶۵
جدول(۳-۵) : متغیرهای استفاده شده برای بررسی و حل نتایج	۷۸
جدول(۴-۵) : گردآوری پارامترهای استفاده شده در روابط استخراج شده	۷۹
جدول(۵-۵) : جمع آوری پارامترهای انتگرالی برای ماتریسهای M, K, C, F	۷۹
جدول(۶-۱) : نمایش نحوه استفاده از روش راج-کوتای مرتبه چهارم	۹۱

فهرست اشکال

صفحه

عنوان

شکل(۱-۱): نقاشی از بال طراحی شده بوسیله برادران رایت ۳
شکل(۲-۱): نمایی از تونل باد مرکز پژوهش‌های هوافضایی آمریکا ۵
شکل(۲-۱): نمایش جابجایی برای پره الاستیک بالگرد ۱۲
شکل(۲-۲): تغییر شکل پیچشی ۱۴
شکل(۲-۳): برش عرضی ۱۴
شکل(۲-۴): لهیدگی ۱۴
شکل(۲-۵): نمایش مقطع پره دوار در حرکت عمومی ۱۸
شکل(۲-۶): جریان پره دوار بالگرد ۱۹
شکل(۲-۷): جریان عبوری از یک بالگرد ۱۹
شکل(۲-۸): نمایش نحوه مدل سازی با استفاده ازتابع تئودرسن ۲۰
شکل(۲-۹): نمایش نحوه مدل سازی با استفاده ازتابع سی‌یرس ۲۲
شکل(۲-۱۰): نمایش نحوه مدل سازی با استفاده ازتابع آیساک ۲۲
شکل(۲-۱۱): نمایش نحوه حرکت جریان در تئوری لوی ۲۳
شکل(۲-۱۲): نمایش دوبعدی گردابه‌ها برای استفاده درتابع لوی ۲۴
شکل(۲-۱۳): نمودار تابع نسبت کاهش برآ بر حسب $\frac{h}{b}$ ۲۴
شکل(۲-۱۴): تابع لویی بر حسب نسبت فرکانس ۲۴
شکل(۲-۱۵): نمایش مدل هندسی تئوری آبشاری ۲۵
شکل(۲-۱۶): تابع نسبت کاهش برآ برای نسبتهای مختلف صلبیت ۲۶
شکل(۲-۱۷): نمایش هندسی روش پیزیالی ۲۷
شکل(۲-۱۸): گردابه‌های رو به پایین ۲۸
شکل(۲-۱۹): شبیه‌سازی صلب گردابه‌ها ۲۸
شکل(۲-۲۰): نتایج حل یک پره دوار پیشرو با روش CFD ۲۹
شکل(۲-۲۱): بر هم کنشهای جریانهای پیچشی پره ۳۰
شکل(۳-۱): محور مرکز جرم، محور الاستیک و مکان وتر ایرفویل ۳۳
شکل(۳-۲): تیر در حال دوران و محورهای الاستیک، محور کششی و محور مرکز جرم ۳۴
شکل(۳-۳): چگونگی قرار گیری محورهای مختصات مرجع و متحرک بر روی پره دوار ۳۵
شکل(۴-۳): نمایش سیستم مختصات پره دوار و جابجایی پره ۳۵
شکل(۵-۳): نمایش مقطع پره و محورهای مختصات ثابت و محلی ۳۶
شکل(۶-۳): تغییر شکلهایی که برای پره مورد بررسی قرار گرفته است ۳۷
شکل(۷-۳): نیروها و ممان‌ها اعمالی بر مقطع پره ۴۲

۴۶ شکل(۱-۳): نمایش زاویه تاب و پریکون در پره بالگرد
۵۱ شکل(۱-۴): نمایش مقطع معمولی و مختصات اعمالی
۵۳ شکل(۲-۴): نمایش دیاگرام آزاد سرعت مقطع پره بالگرد
۵۶ شکل(۳-۴): دیاگرام آزاد نیروهای آیرودینامیکی
۶۹ شکل(۱-۵): پاسخ زمانی نوسان پره در حالت آیرودینامیک شبه‌پایا
۷۱ شکل(۲-۵): روش محاسبه سرعت القایی و جابجایی استاتیکی
۷۴ شکل(۳-۵): چگونگی تغییرات مکانی استاتیکی به تغییرات زاویه حمله
۷۵ شکل(۴-۵): تغییرات سرعت القایی با توجه به تغییرات زاویه حمله
۷۸ شکل(۵-۵): نمودارهای استخراج شده در حالت آیرودینامیک شبه‌پایا
۸۹ شکل(۶-۱): نمایش پاسخ زمانی نوسان پره در حالت آیرودینامیک ناپایا
۹۴ شکل(۶-۲): الگوریتم حل پاسخ زمانی معادلات پره بالگرد با فرض آیرودینامیک ناپایا
۹۸ شکل(۷-۱): نمودار در زاویه کلکتیو(۳،۰)، رادیان در شرایط آیرودینامیک شبه‌پایا
۹۸ شکل(۷-۲): نمودار در زاویه کلکتیو(۳۵،۰)، رادیان در شرایط آیرودینامیک شبه‌پایا
۹۹ شکل(۷-۳): نمودار در زاویه کلکتیو(۴،۰)، رادیان در شرایط آیرودینامیک شبه‌پایا
۱۰۰ شکل(۷-۴): نمایش روند استخراج زاویه کلکتیو برای ناپایداری دینامیکی
۱۰۱ شکل(۷-۵): نمودار نوسانی برای زاویه کلکتیو(۳)، رادیان در شرایط آیرودینامیک ناپایا
۱۰۲ شکل(۷-۶): نمودار نوسانی برای زاویه کلکتیو(۱۵)، رادیان در شرایط آیرودینامیک ناپایا
۱۰۳ شکل(۷-۷): نمودار نوسانی برای زاویه کلکتیو(۲۵)، رادیان در شرایط آیرودینامیک ناپایا
۱۰۵ شکل(۷-۸): نمودار در زاویه کلکتیو(۲)، رادیان در شرایط آیرودینامیک شبه‌پایا
۱۰۵ شکل(۷-۹): نمودار در زاویه کلکتیو(۵)، رادیان در شرایط آیرودینامیک شبه‌پایا
۱۰۶ شکل(۷-۱۰): نمودار در زاویه کلکتیو(۳۲)، رادیان در شرایط آیرودینامیک شبه‌پایا
۱۰۷ شکل(۷-۱۱): نمودار نوسانی برای زاویه کلکتیو(۲۵)، رادیان در شرایط آیرودینامیک ناپایا
۱۰۸ شکل(۷-۱۲): نمودار نوسانی برای زاویه کلکتیو(۲)، رادیان در شرایط آیرودینامیک ناپایا
۱۰۹ شکل(۷-۱۳): نمودار در زاویه کلکتیو(۴۲)، رادیان در شرایط آیرودینامیک شبه‌پایا
۱۱۰ شکل(۷-۱۴): نمودار در زاویه کلکتیو(۴۸)، رادیان در شرایط آیرودینامیک شبه‌پایا
۱۱۱ شکل(۷-۱۵): نمودار نوسانی برای زاویه کلکتیو(۲)، رادیان در شرایط آیرودینامیک ناپایا
۱۱۲ شکل(۷-۱۶): نمودار نوسانی برای زاویه کلکتیو(۲۵)، رادیان در شرایط آیرودینامیک ناپایا
۱۱۳ شکل(۷-۱۷): نمودار در زاویه کلکتیو(۱۵)، رادیان در شرایط آیرودینامیک شبه‌پایا
۱۱۴ شکل(۷-۱۸): نمودار در زاویه کلکتیو(۱)، رادیان در شرایط آیرودینامیک شبه‌پایا
۱۱۵ شکل(۷-۱۹): نمودار نوسانی برای زاویه کلکتیو(۱)، رادیان در شرایط آیرودینامیک ناپایا
۱۱۶ شکل(۷-۲۰): نمودار نوسانی برای زاویه کلکتیو(۳)، رادیان در شرایط آیرودینامیک ناپایا
۱۱۷ شکل(۷-۲۱): نمودار نوسانی برای زاویه کلکتیو(۱)، رادیان در شرایط آیرودینامیک ناپایا
۱۱۹ شکل(۷-۲۲): زاویه (۳۵،۰) و سرعت ۱،۵ برابر سرعت پایداری در آیرودینامیک شبه‌پایا
۱۲۰ شکل(۷-۲۳): نمایش روند استخراج سرعت دورانی برای شروع ناپایداری دینامیکی
۱۲۲ شکل(۷-۲۴): زاویه کلکتیو(۱۵،۰) و سرعت ۱،۵ برابر سرعت پایداری در آیرودینامیک ناپایا

شکل(۲۵-۷): زاویه کلکتیو(15°) و $2/3$ سرعت پایداری در آیروودینامیک ناپایا ۱۲۳
شکل(۲۶-۷): زاویه کلکتیو(15°) و سرعت $2,5$ برابر سرعت پایداری در آیروودینامیک ناپایا ۱۲۴
شکل(۲۷-۷): زاویه کلکتیو(45°) و سرعت دورانی $1,5$ برابر سرعت پایداری در آیروودینامیک شبهپایا ۱۲۶
شکل(۲۸-۷): زاویه کلکتیو(45°) و سرعت دورانی $2,5$ برابر سرعت پایداری در آیروودینامیک شبهپایا ۱۲۷
شکل(۲۹-۷): زاویه کلکتیو(2°) و سرعت دورانی $1,5$ برابر سرعت پایداری در آیروودینامیک ناپایا ۱۲۸
شکل(۳۰-۷): زاویه کلکتیو(2°) و سرعت دورانی $2/3$ سرعت پایداری در آیروودینامیک ناپایا ۱۲۹
شکل(۳۱-۷): نمایش اثر پذیری زاویه پریکون از ω_7 و ω_w با توجه به [۱۷] ۱۳۰
شکل(۳۲-۷): نمودار مکان هندسی با استفاده از مرجع [۱۳] ۱۳۱
شکل(۳۳-۷): نمایش مرز زاویه ناپایداری با توجه به [۱۷] برای پرده دوم ۱۳۲
شکل(۳۴-۷): نمایش مرز زاویه ناپایداری با توجه به [۱۷] برای پرده سوم ۱۳۲
شکل(الف-۱): موقعیت فیبر قبل از تغییر شکل ۱۴۰
شکل(الف-۲): موقعیت فیبر بعد از تغییر شکل ۱۴۰
شکل(الف-۳): تغییر مکان های γ و w ۱۴۲
شکل(ب-۱): نمایش بردار موقعیت جزء جرم (\tilde{r}) در دستگاه $x - y - z$ ۱۴۵

فصل اول

مقدمه و تاریخچه

۱-۱: مقدمه

امروزه یکی از مسائل مورد توجه محققین و طراحان ابزار پرنده، تولید و بهینه سازی بالگردها و ابزار مربوط به آنها می باشد، چرا که این وسیله پرنده به خودی خود دارای توانایی های منحصر به فردی در میان دیگر ابزار پرنده ساخته دست بشر می باشد. از جمله این امکانات می توان به توانایی پرواز درجا یا ایستا، اوچگیری آهسته بدون خروج گازهای داغ در انتهای، داشتن تعادل بدون نیاز به پرواز روبه جلو، کنترل پذیری بالا، کمتر بودن هزینه های ساخت در مقایسه با دیگر ابزار پرنده دارای امکانات پروازی مشابه و دیگر موارد مشابه اشاره نمود.

در بالگردها نیروی مورد نیاز برای به پرواز در آمدن و حرکت رو به جلو توسط پره های دوار تولید می شود، لذا از آنجا که طراحی و ساخت ابزار تولید کننده نیروی برا و نیروی جلوبرندگی در ابزار پرنده بیش از دیگر مباحثت مورد توجه طراحان و سازندگان می باشد، نمی توان منکر اهمیت بررسیها و تحقیقات اعمال شده بر روی پره های دوار بالگردها گردید.

از آنجا که این گونه از پره های دوار نیروی مورد نیاز برای به پرواز در آوردن و حرکت رو به جلوی حاصل را از تبدیل انرژی دورانی پره در حرکت نسبی پره و سیال به دیگر مولفه های نیرو و یا به بیان بهتر نیروهای برا و جلوبرندگی بدست می آورند، لذا بسیاری از پدیده های پیش رو در طراحی ایرفویل و بال، از جمله یکی از مطرح ترین آنها که پدیده سرعتهای ناپایداری دینامیکی و استاتیکی می باشد، با این ابزار نیز به هم آمیخته می نماید.

پدیده ناپایداری دینامیکی به دلیل وجود حرکت دورانی پره و به دنبال آن تغییر لحظه ای محور مختصات نسبت به محور مختصات لخت و تغییرات نحوه جریان سیال (هوا) نسبت به تحلیل های آیروالاستیک مربوط به بال هواپیما دارای پیچیدگی های بیشتری می باشد. در نتیجه مدل سازی جریان سیال (آیرو دینامیک سیستم) و مدل سازی سازه ای سیستم در مورد پره دوار^۱ بالگردها و بطور کلی تمامی پره های دوار، مشکلات بیشتری را شامل می شود. به این دلیل است که امروزه حل مسائل مربوط به بررسی آیروالاستیک پره های دوار بالگردها و بطور کلی تمامی پره های دوار بیشتر مورد توجه محققین می باشد.

همان گونه که از کلمه آیروالاستیسیته انتظار می رود، مباحثت مربوط به این مقوله مجموعه ای از تحلیل های آیرو دینامیکی و الاستیک (سازه ای) حاکم بر سیستم را شامل می شوند. به بیان دیگر این شاخه از علم در واقع پلی بین مباحثت و روابط آیرو دینامیکی و سازه ای حاکم بر سیستم می باشد. با توجه به بررسی مسائل در گیر با آیروالاستیسیته مشاهده می گردد که تفاوت بین مسائل در واقع بیشتر در نوع مدل سازی آیرو دینامیکی و سازه ای مسائل مطرح می باشد. مورد دیگری که در حل این گونه مسائل دخیل می نماید، دینامیک حاکم بر مساله می باشد. بطوری که تحلیل آیروالاستیک پره دوار بالگردها در حالت ایستا و روبه جلو که دو گونه شناخته شده در مسائل مربوط به بالگردها می باشند، تنها در نحوه مدل سازی دینامیکی با یکدیگر متفاوت می باشند.

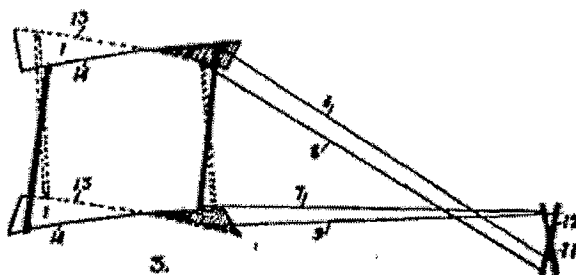
¹ Rotor

با توجه به نکات فوق این پایان نامه برآن است که به بررسی ناپایداری دینامیکی پره دوار بالگرد و در نتیجه استخراج سرعت ناپایداری دینامیکی آن در زوایای کلکتیو مختلف برای پره پرداخته و پاسخ ارتعاشی پره دوار را در مودهای حرکتی درون صفحه^۱، بیرون صفحه^۲ و حرکت پیچشی^۳ حول محور الاستیک پره مورد بررسی و تحلیل قرار دهد. لذا جهت نیل به این هدف نیاز به انجام مراحل زیر لازم می‌نماید:

- ابتدا کلیاتی در مورد چگونگی استخراج روابط حاکم بر سازه و در نتیجه استخراج مدل سازه‌ای سیستم ارائه می‌شود.
 - در مرحله بعد چگونگی استخراج روابط حاکم آیرودینامیکی سیستم مورد بررسی و در نتیجه استخراج مدل آیرودینامیکی سیستم مقدور می‌نماید.
 - قدم بعدی برای استخراج رفتار پره دوار ترکیب معادلات سازه و آیرودینامیکی و حل آنها می‌باشد.
 - در انتهای نیز بعد از حل معادلات حاکم، نمودار نوسانی پره دوار برای سه مود حرکتی یاد شده در بالا رسم و استخراج شده و مرز سرعت ناپایداری دینامیکی آن معرفی می‌شود.
- در ادامه این فصل تاریخچه و رشد روش‌های معمول برای تحلیل‌های آیروالاستیسیتۀ موجود مورد بررسی گذرایی قرار گرفته است.

۱-۲: تاریخچه

همانگونه که در اکثر مراجع مربوط به علوم هوافضایی در دسترس می‌باشد، برای اولین بار برادران رایت با نام‌های ارویل و ویلبر در شهر کیتی هایک واقع در ایالت کارولینای شمالی در سال ۱۹۰۳ موفق به طراحی و پرواز با وسیله پرنده‌ای که از هوا سنگین‌تر باشد، شدند. با توجه به مراحل طراحی این وسیله پرنده، می‌توان آنها را اولین افرادی نیز دانست که علوم آیروالاستیسیتۀ تجربی را مورد بررسی و آزمایش قرار داده‌اند. آنها برای بررسی آثار تغییر شکل بال بصورت پیچشی در حرکت پیچ یک بال مدل با طول اسپن برابر با ۵ فوت را مورد بررسی و آزمایش قرار دادند. نمایی از نقاشی کشیده شده از این بال در (شکل ۱-۱) ارائه شده است.



شکل (۱-۱): نقاشی از بال طراحی شده بوسیله برادران رایت [۱]

^۱ Lead Lag

^۲ Flap

^۳ Roll